

Détermination du pH d'un acide faible et méthodes de continuation

Auteur: TSINA FOSBING Sinclair (Etudiant en 2ème année Bachelor Sciences Mathématiques Université de Mons)

Enseignant: M. Christophe TROESTLER

Objectifs du projet:

Ce projet est réalisé dans le cadre du cours d'introduction à l'Analyse numérique dispensé en BAB2 à l'université de Mons. Il est question d'aborder un problème concret grâce aux techniques numériques vues au cours que dont certaines seront adaptées de manière à répondre à la série des 11 questions proposées.

Résultats attendues:

1. Un bref rapport écrit qui résume les développements mathématiques et les solutions apportées aux problèmes posés.
2. Les conclusions des expériences numériques.

Note: ce [notebook](#) constitue une réponse à ces deux points. Nous y présenterons à la fois le code python, ainsi que les détails de nos développements mathématiques.

Importation des librairies nécessaires

```
In [12]: import matplotlib.pyplot as plt # pour les représentations graphiques
import math # contient les fonctions mathématiques usuels tels que log, sin, et c...
import random
import array
import numpy as np # pour les calculs numériques
from sympy import * # pour les calculs symboliques
from math import log10
from scipy.optimize import brentq
from scipy.integrate import solve_ivp
from numpy.linalg import inv
from PIL import Image

In [2]: # Quelques constantes utilisées
k_a = 1.8*10**(-5) # Constante d'acidité propre à l'acide
k_e = 1.0116*10**(-14) # La constante ionique de l'eau

In [14]: Image1 = Image.open("logo-umons.png");
Image2 = Image.open("tvi.png");
Image3 = Image.open("tvd.png");
Image.show()
```

On s'intéresse à la variation du pH d'une solution aqueuse d'un acide faible AH (formé d'un atome d'hydrogène H et d'une autre partie notée A) en fonction de $-log_{10} c$ où $c > 0$ représente la concentration de l'acide. L'analyse de ce problème conduit aux équations suivantes:

(1) $[H_3O^+][OH^-] = k_e$
(2) $[H_3O^+] = [OH^-] + [A^-]$
(3) $AH/K_a = [A^-][H_3O^+]$
(4) $AH + [A^-] = c$

Question 1

1.a - Détermination du polynôme

On procède par élimination successive de $[OH^-]$, $[A^-]$ et AH des équations ci-dessus.

(1) $\Rightarrow [OH^-] = \frac{k_e}{[H_3O^+]}$
Dans (2) on a:
 $[H_3O^+] = \frac{k_e}{[H_3O^+]} + [A^-] \iff [A^-] = [H_3O^+] - \frac{k_e}{[H_3O^+]} \quad (*)$
Dans (3) on a:
 $AH = \frac{c}{k_a}([H_3O^+])^2 - k_e$
Dans (4) on a:
 $[A^-] = c - \frac{1}{k_a}([H_3O^+])^2 - k_e \quad (*) \quad (*)$
 $(*)$ et $(*) \quad (*)$ donnent:
 $[H_3O^+] - \frac{k_e}{[H_3O^+]} = c - \frac{1}{k_a}([H_3O^+])^2 - k_e$
En multipliant par $k_a[H_3O^+]$, on obtient:

$k_a[H_3O^+])^2 - k_e k_a = c_k a [H_3O^+]) - [H_3O^+])^3 + k_a [H_3O^+]) - k_e k_a$
 $\iff [H_3O^+])^3 + k_a [H_3O^+]) - (c_k a [H_3O^+]) + k_a [H_3O^+]) - k_e k_a = 0$

D'où l'équation $x^3 + k_a x^2 - (k_e + c_k a)x - k_e k_a = 0$ où x représente la concentration en H_3O^+

1.b - Montrons que le polynôme P possède une unique racine positive.

Considérons la fonction polynôme $f_c(x) = x^3 + k_a x^2 - (k_e + c_k a)x - k_e k_a$ où c est un paramètre réel strictement positif.

- Etudions les variations f_c .

La fonction f_c est dérivable sur \mathbb{R} comme fonction polynôme.

On a: $f_c'(x) = 3x^2 + 2k_a x - c_k a - k_e$

$f_c'(x) = 0 \iff 3x^2 + 2k_a x - c_k a - k_e = 0$

On obtient un polynôme du second degré dont le discriminant est:

$\Delta = 4k_a^2 + 12(c_k a + k_e) > 0$

Les points critiques sont donc:

$x_1 = \frac{-2k_a + \sqrt{\Delta}}{6}$
 $x_2 = \frac{-2k_a - \sqrt{\Delta}}{6}$

On a donc le tableau de variations généralisé suivant:

Image2.show()

Pour tout x positif, x_1 est potentiellement l'unique point critique à condition que l'on est $x_1 \geq 0$.

$x_1 \geq 0 \iff -2k_a + \sqrt{\Delta} \geq 0$
 $\iff \Delta \geq 4k_a^2$
 $\iff 4k_a^2 + 12(c_k a + k_e) \geq 4k_a^2$
 $\iff c \geq \frac{-k_e}{k_a}$

Le réel c étant positif, on aura toujours x_1 positif.

Ainsi, pour tout c positif, le tableau de variations de la fonction f_c sur $[0, +\infty[$ est suivant:

Image3.show()

On voit que la fonction f_c est à valeurs négatives sur $[0, x_1]$ et f_c croît infiniment sur $]x_1, +\infty[$.

Donc la courbe de la fonction f_c rencontrera l'axe des abscisses une seule fois sur l'intervalle $]x_1, +\infty[$.

On conclut que pour tout réel c positif, le polynôme $x^3 + k_a x^2 - (k_e + c_k a)x - k_e k_a$ admet une unique racine positive sur l'intervalle $]0, +\infty[$.

1.c - Algorithme de Horner pour évaluer P

On considère le polynôme $P(x) = a_n x^n + a_{n-1} x^{n-1} + \dots + a_1 x^1 + a_0$

La **méthode de Horner** consiste à écrire $P(x)$ sous la forme $P_i(x).x + a_i$ et de répéter cette opération sur P_i et ainsi de suite jusqu'à obtenir le polynôme constant $P_0(x) = a_0$. Son implémentation en python est la suivante:

```
In [3]: def horner(A, x): # A est le vecteur contenant les coefficients (a_i), i=0...n
n = len(A)
p = A[n]
for i in range(1, n+1):
    p = p*x + A[n-i]
return p

1.d - Test de l'Algorithme de Horner et méthode des invariants
```

```
In [4]: c = random.uniform(0,1) # On génère un nbre aléatoire entre 0 et 1 pour tester notre fonction
A = [1, k_a, -(k_e+c*k_a), -k_a*k_e]

In [5]: horner(A, 1) == sum(A) # on teste l'image de 1

Out [5]: True
```

Méthode des invariants

Un invariant de boucle est une propriété Q qui vérifie:

- Est vraie avant l'entrée dans la boucle.
- Est toujours vraie après chaque itération de la boucle.
- Vaut la propriété P désirée à la fin de l'exécution de la boucle.

Cas de l'Algorithme de Horner

Pour la preuve d'exactitude, nous utilisons les mêmes notations que celles du programme écrit précédemment

Entrée: $A = [a_0, a_1, \dots, a_n]$

Invariant de boucle:

Nous proposons comme invariant la propriété $Q = p(A[i], x) = \sum_{j=0}^i A[n-j]x^{n-j}$

Preuve:

Avant la boucle: $i = 0$
Et on a $p(A[0], x) = \sum_{j=0}^0 A[n-j]x^{n-j} = A[n]$
A l'entrée de la boucle:
Supposons que la proposition Q soit vraie une étape i . C'est à dire $p(A[i], x) = \sum_{j=0}^i A[n-j]x^{n-j}$.
Montrons qu'elle est vraie à la prochaine itération $i + 1$. En effet à chaque itération, on a:

$p(A[i], x) + A[n-i] = (\sum_{j=0}^i A[n-j]x^{n-j}).x + A[n-i]$
 $= \sum_{j=0}^i A[n-j]x^{n-j+1} + A[n-i]$
 $= \sum_{j=0}^i A[n-j]x^{n-j} \quad \text{où } i' = i + 1$
On a donc $p(A[i+1], x) = p(A[i], x) + A[n-i]$

Après la boucle: $i = n$

et on a $p(A[n], x) = \sum_{j=0}^n A[n-j]x^{n-j} = A[n]x^n + A[n-1]x^{n-1} + \dots + A[1]x + A[0]$ qui est la propriété désirée.

On conclut que la méthode de d'Horner est correcte.

1.e - Valeurs de $c > 0$ en fonction de k_e et k_a pour que $[H_3O^+] \leq 1$

D'après la question (1-a), la fonction f_c est décroissante sur $[0, x_1]$ pour tout c positif.

Ainsi sur cet intervalle, on a par décroissance de f_c :

$[H_3O^+] \leq 1 \iff f_c([H_3O^+]) \geq f_c(1)$
.

Mais on a $f_c([H_3O^+]) = 0$ et $f_c(1) = 1 + k_a - c k_e - k_e - k_e k_a$

Donc il suffit que $f_c(1) \leq 0$

C'est-à-dire $1 + k_a - c k_e - k_e k_a \leq 0 \iff c k_e \geq 1 + k_a - k_e - k_e k_a$
 $\iff c k_e \geq (1 + k_a)(1 - k_e)$
 $\iff c \geq \frac{(1+k_a)(1-k_e)}{k_e}$

Mais comme $c > 0$, on a finalement: $c \in]0, \frac{(1+k_a)(1-k_e)}{k_e}]$

1.e - Représentation du polynôme p sur [0; 0.005] pour $c \in [1, 0.1, 0.01, 10^{-12}]$

```
In [6]: c = np.array([1, 0.1, 0.01, 10**(-12)])
coefs = [] # vecteur contenant les coefficients du polynôme pour les différentes valeurs de c
for i in c:
    res = np.array([-k_a*k_e, -(k_e+c*k_a), -k_a*k_e])
    coefs.append(res)

In [7]: coefs

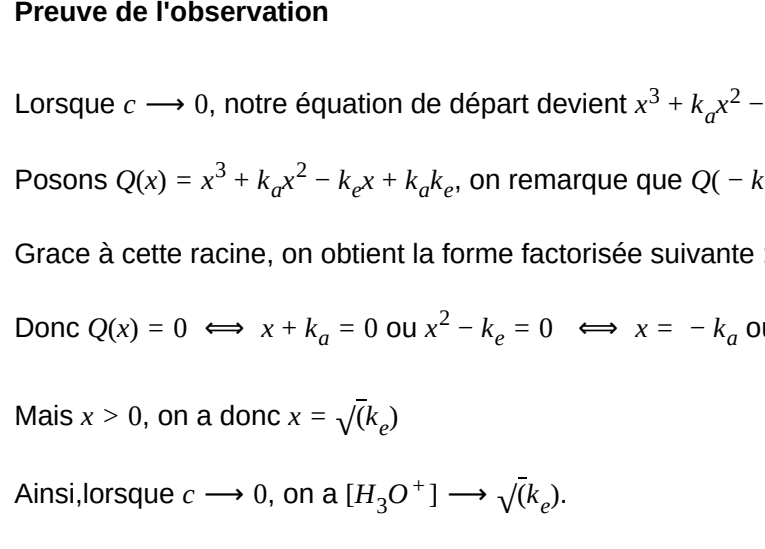
Out [7]: array([-1.82088e-19, -1.80000e-05, 1.80000e-05, 1.00000e+00]),
array([-1.82088000e-19, -1.80000001e-06, 1.80000000e-06, 1.00000000e+00]),
array([-1.82088000e-19, -1.80000001e-07, 1.80000000e-07, 1.00000000e+00]),
array([-1.82088e-19, -1.01340e-14, 1.80000e-05, 1.00000e+00])]
```

```
In [8]: x = np.linspace(0, 0.005, 100)
px1 = []; px2 = []; px3 = []; px4 = []; # initialisation des vecteurs qui recevront les valeurs des pol
for i in range(len(x)):
    px1.append(horner(coefs[0], x[i]))
    px2.append(horner(coefs[1], x[i]))
    px3.append(horner(coefs[2], x[i]))
    px4.append(horner(coefs[3], x[i]))

px = [px1, px2, px3, px4]
colors = ['b', 'g', 'r', 'y']
labs = ["c=1", "c=0.1", "c=0.01", "c=10**(-12)"]

for i in range(len(x)):
    plt.plot(x, px[i], color=colors[i], label=labs[i])

plt.xlabel('x')
plt.ylabel('P(x)')
plt.grid()
plt.legend()
plt.show()
```



1.f - Courbe du PH en fonction de $-log_{10}(c)$

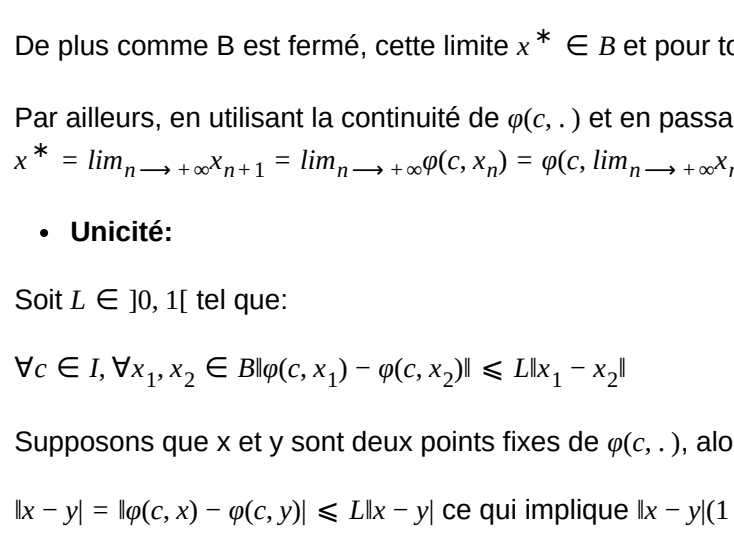
A partir de la suite $x_{i+1} = x_i + h \frac{f(x_i)}{f'(x_i)}$, on écrit une routine `nextPoint()` qui, avec un pas constant h , détermine le point de la prochaine itération. Dans notre cas nous prenons un pas $h = 10^{-4}$

```
In [9]: def nextPoint(x0, fxn, fprim, h=10**(-4)):
next = x0+fxn/fprim
return next

In [10]: c = np.linspace(0.1, 100)
coef3 = [] # vecteur contenant le 3e coefficient du polynôme pour les différentes valeurs de c
for i in c:
    coefs.append((k_e+c*k_a))
    coef3

racines = []
n=len(coef3)-1
px1 = 1+1.0e-15 # on initialise par une valeur supérieure à 1
for i in range(n, -1, -2):
    f = lambda x: x**3+k_a*x**2-coef3[i]*x-k_a*k_e
    px = brentq(f, 0, 1)
    fxnext = nextPoint(pxnext, f(pxnext), fprim(pxnext))
    res = brentq(f, 0, fxnext)
    racines.append(res)
```

```
In [11]: x = [-log10(r) for r in racines]
plt.plot(x)
plt.title("Courbe du PH en fonction de $-log_{10}(c)$")
plt.xlabel("$-log_{10}(c)$")
plt.ylabel("pH")
plt.grid()
plt.show()
```



Explications: On remarque que pH est une fonction croissante de $-log_{10}(c)$. Ce qui signifie que lorsque $-log_{10}(c)$ augmente (i.e c diminue), le pH augmente aussi. Autrement dit plus la concentration c diminue, moins la solution est acide.

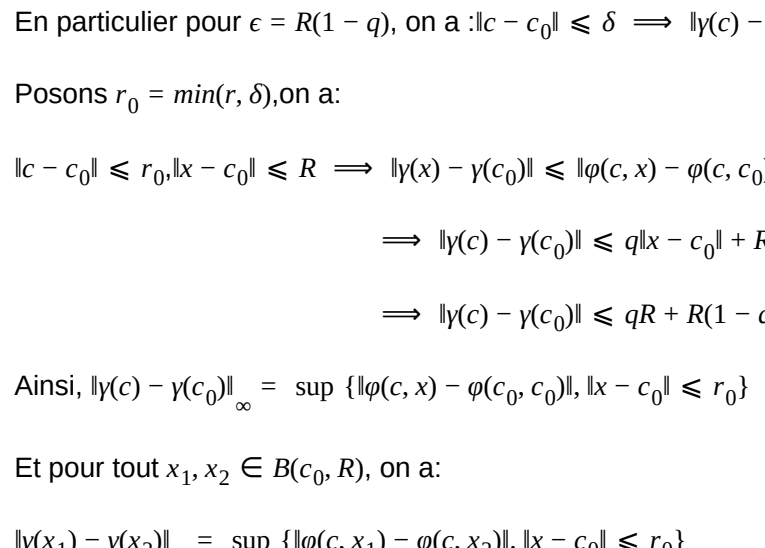
1.g) Preuve des propriétés constatées graphiquement

- Continuité:
- Monotonie:
- Dérivabilité:

Preuve que $pH \rightarrow -log_{10} \sqrt{k_e} \approx 7$ lorsque $c \rightarrow 0$

Commençons par une analyse graphique. Le code suivant nous permet de représenter la courbe de la variation du pH lorsque c tend vers 0.

```
In [8]: v = np.arange(10**(-7), 0, -10**(-10))
for c in v:
    f = lambda x: x**3+k_a*x**2-(c*k_a+k_e)*x-k_a*k_e
    res = brentq(f, 0, 1)
    res.append(sol)
x = res
y = [-log10(r) for r in res]
s = -log10(math.sqrt(k_e))
lab = '-log_{10}(sqrt(k_e))'
plt.plot(x, y, label = "pH en fonction de c")
plt.xlabel("$-log_{10}(c)$")
plt.ylabel("$pH$")
plt.grid()
plt.legend()
plt.show()
```



Cette représentation nous permet de voir que lorsque c tend vers 0, l'écart entre le pH et droite $y = -log_{10} \sqrt{k_e}$ se réduit.

Preuve de l'observation

Lorsque $c \rightarrow 0$, notre équation de départ devient $x^3 + k_a x^2 - k_a x + k_e k_a = 0$.

Posons $Q(x) = x^3 + k_a x^2 - k_a x + k_e k_a$, on remarque que $Q(-k_e) = 0$

Grace à cette racine, on obtient la forme factorisée suivante : $Q(x) = (x + k_e)(x^2 - k_a)$

Donc $Q(x) = 0 \iff x + k_e = 0$ ou $x^2 - k_a = 0 \iff x = -k_e$ ou $x = \pm \sqrt{k_e}$

Mais $x > 0$, on a donc $x = \sqrt{k_e}$

Ainsi, lorsque $c \rightarrow 0$, on a $[H_3O^+] \rightarrow \sqrt{k_e}$.

Et comme $pH = -log_{10}[H_3O^+]$

On en déduit que $pH \rightarrow -log_{10} \sqrt{k_e}$ lorsque $c \rightarrow 0$

Ce résultat est logique d'un point de vue chimique puisque nous avons à faire à un acide et donc son pH est donc inférieur ou égale à 7, mais cet acide est faible donc son pH se rapproche de celui de l'eau et l'eau est équilibrée (i.e de $pH = 7$)

Question 2: Adaptation de la méthode du point fixe

- Montrons que la suite $(x_n)_{n \in \mathbb{N}}$ est de Cauchy:

Soit $x_0 \in B$, comme B est stable par $\phi(\cdot)$, par définition de $\phi(\cdot)$, on peut poser $x_n = \phi(x_{n-1})$ pour tout $n \in \mathbb{N}$

On a alors:

$\|x_{n+1} - x_n\| = \|\phi(x_n) - \phi(x_{n-1})\| \leq L \|x_n - x_{n-1}\|$

On obtient par récurrence sur n que

$\| \phi(x_n) - x_n \| = \phi(x_n) - x_n \leq L \| x_n - x_0 \|$
Ainsi, pour tout $n \in \mathbb{N}$ et $k \in \mathbb{N}^*$, on a :

$\|x_{n+k} - x_n\| \leq \sum_{i=0}^{k-1} \|x_{n+i+1} - x_{n+i}\|$
 $\leq \sum_{i=0}^{k-1} L^{i+1} \|x_1 - x_0\|$
 $\leq L \|x_1 - x_0\| \sum_{i=0}^{k-1} L^i$
 $\leq L^{1+\frac{1-L^k}{1-L}} \|x_1 - x_0\|$

Donc $\frac{L^k}{1-L} \|x_1 - x_0\| \rightarrow 0$ quand $n \rightarrow +\infty$ car $0 < L < 1$

Ainsi la suite $(x_n)_{n \in \mathbb{N}}$ est de Cauchy.

- Convergence:

Comme \mathbb{R}^n est complet, alors il existe $x^* \in \mathbb{R}$ tel que $x_n \rightarrow x^*$.

De plus comme B est fermé, cette limite $x^* \in B$ et pour tout $n \in \mathbb{N}$, on a $x_{n+1} = \phi(x_n)$

Par ailleurs, en utilisant la continuité de $\phi(\cdot)$ et en passant à la limite, on a

$x^* = \lim_{n \rightarrow \infty} x_{n+1} = \lim_{n \rightarrow \infty} \phi(x_n) = \phi(x_n) = \phi(\lim_{n \rightarrow \infty} x_n) = \phi(x^*)$

- Unité:

Soit $t \in]0, 1[$ tel que:

$\forall c \in I, \forall x_1, x_2 \in B, \phi(x_1) - \phi(x_2) \leq L \|x_1 - x_2\|$

Supposons que x et y sont deux points fixes de $\phi(\cdot)$, alors on a:

$\|x - y\| = \|\phi(x) - \phi(y)\| \leq L \|x - y\|$ ce qui implique $\|x - y\| (1 - L) \leq 0$

Mais on a $1 - L > 0$ car $L \in]0, 1[$

Donc $\|x - y\| = 0$ et donc $x=y$. D'où l'unicité de x^*

On peut ainsi définir la fonction $y: I \rightarrow B$

$c \mapsto$ l'unique x^* tel que $x^* = \phi(x^*)$

Question 3: Montrons que la fonction ϕ vérifie les hypothèses du théorème du point fixe

On sait que pour tout $c \in I$, la fonction $\phi(\cdot)$ est continue sur B

De plus, l'hypothèse (a) nous dit que $\partial_x \phi(x)$ existe en tout point $c \in I$ et $x \in B$

Ces deux hypothèses montrent que pour tout $c \in I$ la fonction $\phi(\cdot)$ est de classe C^1 sur B

Sous ces hypothèses, l'Inégalité des Accroissements Finis (IAF) nous assure que pour tout $x_1, x_2 \in B$:

$\| \phi(c, x_1) - \phi(c, x_2) \| \leq \|x_1 - x_2\| \sup_{\xi \in \text{intervalle}} \| \partial_x \phi(c, \xi) \|$
 $\leq \|x_1 - x_2\| \sup_{\xi \in \text{intervalle}} \sup_{\eta \in \text{intervalle}} \| \partial_x \phi(c, \eta) \|$ (*)

Comme B est fermé, alors pour tout compact $K \Subset B$, il existe $t \in]0, 1[$ tel que $\sup_{\eta \in \text{intervalle}} \| \partial_x \phi(c, \eta) \| \leq L$ $\sup_{\eta \in \text{intervalle}} \| \partial_x \phi(c, \eta) \|$

(*) devient : $\| \phi(c, x_1) - \phi(c, x_2) \| \leq \|x_1 - x_2\| \sup_{\eta \in \text{intervalle}} (L \sup_{\eta \in \text{intervalle}} \| \partial_x \phi(c, \eta) \|)$

$\leq L \|x_1 - x_2\| \sup_{\eta \in \text{intervalle}} \sup_{\xi \in \text{intervalle}} \| \partial_x \phi(c, \xi) \|$
 $\leq L \|x_1 - x_2\|$ Car $\sup_{\eta \in \text{intervalle}} \sup_{\xi \in \text{intervalle}} \| \partial_x \phi(c, \xi) \| < 1$ d'après l'hypothèse (b)

Question 4: Preuve du Théorème des Fonctions Implicites

Etape 1: Montrons que la fonction ϕ est différentiable dans un voisinage approprié de (c_0, x_0) .

- Montrons que la fonction $y = \phi(\cdot)$ est Lipschitzienne

Comme $\frac{\partial \phi}{\partial x}(c, x)$ est continue en c_0 alors $\frac{\partial \phi}{\partial x}(c, x)$ l'est aussi.

Soit $q \in]0, 1[$, on a par définition de la continuité de $\frac{\partial \phi}{\partial x}$ au point c_0 , qu'il existe $r > 0$ et $R > 0$ tel que:

$\forall c \in B, \|c - c_0\| \leq r, \|x - c_0\| \leq R \implies \left\| \frac{\partial \phi}{\partial x}(c, x) - \frac{\partial \phi}{\partial x}(c_0, x) \right\| \leq q$ (i)

Par définition de la continuité de y au point c_0 , on a que:

$\forall c > 0, \exists \delta > 0$ tel que: $\|c - c_0\| \leq \delta \implies \|y(c) - y(c_0)\| = \|\phi(c, x_0) - \phi(c_0, x_0)\| \leq \epsilon$

En particulier pour $c = R(1 - q)$, on a $\|c - c_0\| \leq \delta \implies \|y(c) - y(c_0)\| = \|\phi(c, x_0) - \phi(c_0, x_0)\| \leq R(1 - q)$

Posons $r_0 = \min(r, \delta)$, on a:

$\|c - c_0\| \leq r_0, \|x - c_0\| \leq R \implies \|y(x) - y(c_0)\| \leq \|\phi(c, x) - \phi(c_0, x_0)\| + \|\phi(c, x_0) - \phi(c_0, x_0)\|$
 $\implies \|y(x) - y(c_0)\| \leq q \|x - c_0\| + R$ d'après (i) et l'IAF
 $\implies \|y(x) - y(c_0)\| \leq q R + R(1 - q) = R$

Ainsi, $\|y(c) - y(c_0)\|_\infty = \sup \| \phi(c, x) - \phi(c_0, x_0) \|, \|x - c_0\| \leq R$

Et pour tout $x_1, x_2 \in B(c_0, R)$, on a:

$\|y(x_1) - y(x_2)\|_\infty = \sup \| \phi(c, x_1) - \phi(c, x_2) \|, \|x - c_0\| \leq R$

In [23]:

```
def maxNorm(delta):
    c = np.arange(0,1,delta)
    a = []
    for s in gamma[0]:
        for i in c:
            N = np.linalg.norm(H(i,s))
            a.append(N)
    return max(a)
```

In [26]:

```
maxNorm(delta=0.01)
```

Out[26]:

```
7.53814935186274e-08
```

__En particulier pour c = 1,

In [288]:

```
b = []
for s in gamma[0]:
    b.append(H(1,s))
np.linalg.norm(b)
```

Out[288]:

```
3.82432220266069e-07
```

Interprétation des résultats: ces résultats nous montrent que dans le pire des cas on a $\|c\|_{\gamma} \|g\|_{\Gamma}$ qui prends deux paramètres: 3.824×10^{-7} . Ce qui peut être acceptable dans notre cas. Mais cette erreur peut justement être amélioré en précisant la valeur de ϵ qui contrôle le nombre de chiffres corrects tandis que ϵ qui mesure l'écart absolu entre la valeur exacte et la valeur approchée.

Question 10: Méthode de Newton pour une fonction $h:\mathbb{R}^N\rightarrow\mathbb{R}^N$

Considérons une fonction $h:(x_1,\dots,x_N)\in\mathbb{R}^N\mapsto (f_1,\dots,f_N)$

Pour répondre à cette question, nous allons d'abord écrire une routine `MJacobienne()` qui prends deux paramètres:

- `vlist` de type `string` qui représente liste de variables (x_1,\dots,x_N)
- `flist` qui représente les (f_1,\dots,f_N)

Nous allons utiliser le module `sympy` de python qui permet de faire du calcul arithmétique formel basique, de l'algèbre et les mathématiques différentielles

In [27]:

```
import sympy as sym
```

In [31]:

```
def MJacobienne(vlist, flist):
    vars = sym.symbols(vlist)
    f = sym.sympify(flist)
    J = sym.zeros(len(f),len(vars))
    for i, fi in enumerate(f):
        for j, s in enumerate(vars):
            J[i,j] = sym.diff(fi, s)
    return J
```

Test de notre routine

In [54]: `MJacobienne('c x', ['x^3+k_a*x^2-(c*k_a+k_e)*x-k_a*k_e']).T`

Out[54]:
$$\begin{bmatrix} 3x^2+k_a & 2x-k_a & -k_e \end{bmatrix}$$

In [55]: `MJacobienne('u1 u2', ['2*u1 + 3*u2', '2*u1 - 3*u2'])`

Out[55]:
$$\begin{bmatrix} 2 & 3 \\ 2 & -3 \end{bmatrix}$$

On peut à présent utiliser notre routine pour implémenter la méthode de Newton

In [56]:

```
def newton(h, x0, tol=10**(-8), max_iter=1000):
    for n in range(0, max_iter):
        hx0 = h(x0)
        if abs(hx0) < tol:
            print("solution trouvée après {} itérations.".format(n))
            return x0
        Jhxn = MJacobienne(h, x0)
        if Jhxn == 0: # Traitement du cas ou dfdx n'est pas inversible
            x0 = input("Erreur! - dérivée nulle. Essayez avec une autre valeur de x0")
            try:
                newton(h, x0)
            except ZeroDivisionError:
                print("Division par zero!")
            return None
        xn = xn - Jhxn/Jhxn
    print("Aucune solution trouvée après {} itérations".format(max_iter))
    return None
```

Question 11:

(a) Approximation à l'ordre 0:

On a $p(0,x)=G(x)=x^3+k_ax^2-k_ex-k_ak_e$

In [319]:

```
def G(x):
    return x**3+k_a*x**2-k_e*x-k_a*k_e

x_tild = brentq(G, 0, 1)
x_tild
```

Out[319]:

```
1.0057832841862215e-07
```

(b) Approximation à l'ordre 1:

On a $c=1$ et $p(1,x)=F(x)=x^3+k_ax^2-(k_a+k_e)x-k_ak_e$

L'homotopie de Newton s'obtient en posant $G(x) = F(x)-F(\tilde{x})$

Ce qui donne $H(c,x) = (1-c)(F(x)-F(\tilde{x})) + cF(x) = F(x) - (1-c)F(\tilde{x}) = 0$

In [320]:

```
def dHdx(x, x0=x_tild):
    return 3*x**2+2*k_a*x-k_a*k_e

def dHdc(x0=x_tild):
    return F(x0)
```

L'equation de la tangente à γ en un point c s'écrit:

$y = \gamma_{\text{gamma}}(c) + (t-c)\gamma_{\text{gamma}}'(c)$ où t est la variable

Mais on a pour tout $c \in [0,1]$, $\gamma_{\text{gamma}}'(c) = \frac{\partial}{\partial c} \gamma_{\text{gamma}}(c) = \frac{\partial}{\partial c} (x^3 + k_a x^2 - (k_a + k_e)x - k_a k_e) = 3x^2 + 2k_a x - k_a k_e$

Donc $y = \gamma_{\text{gamma}}(c) + (t-c)(3x^2 + 2k_a x - k_a k_e)$ et $\gamma_{\text{gamma}}(c) = \tilde{x}$ on obtient:

$y = \tilde{x} + (t-c)(3\tilde{x}^2 + 2k_a \tilde{x} - k_a k_e)$

In [321]:

```
def tangente(x=x_tild, delta=0.01):
    res = x - delta*(dHdc(x)/dHdx(x))
    return res
```

In [322]: `tangente()`

Out[322]:

```
0.00495854151923436
```

Conclusion

Ce travail est proposé en vue d'une appréciation par le corps enseignant. Il est donc possible qu'il y quelques erreurs qui seront bien évidemment recueillies progressivement. Pour toute autre question contactez-moi à l'adresse

Références:

- Cours [Introduction to Numerical Analysis and Statistical Modeling](#) BAB2 Umoms par Christophe Troestler
- [Python Programming and Numerical Methods - A Guide for Engineers and Scientists](#) by Qingkai Kong, Timmy Siaw, Alexandre Bayen (Authors)
- Earl A. Coddington, Norman Levinson - [Theory of ordinary differential equations](#)-R.E. Krieger (1984)
- Wikipedia [numerical differentiation](#) et [numerical methods for ordinary differential equations](#)